

## 長大トラス橋に作用する静的空気力に関する実験的研究

京都大学工学部	正員	工博	小西一郎
京都大学工学部	正員	工博	白石成人
阪神高速道路公団	正員		河井幸好
京都大学工学部	正員	工修	松本勝
京都大学大学院	准正員		○斎藤通
京都大学大学院	准正員		小前繁

1. 概説；今回我々は、現在大阪湾南港に建設中の南港連絡橋（ゲルバートラス形式）を対象にして、従来より設計上最も重要視されている、Drag Force, Side Force, Momentを中心とした全径間模型及び部分模型（Fig.-1 参照）について風洞実験を行ない、この橋梁に作用する架設時並びに完成時における静的空気力を求め、その結果に二三の考察を加えた。

## 2. 実験結果に対する解析

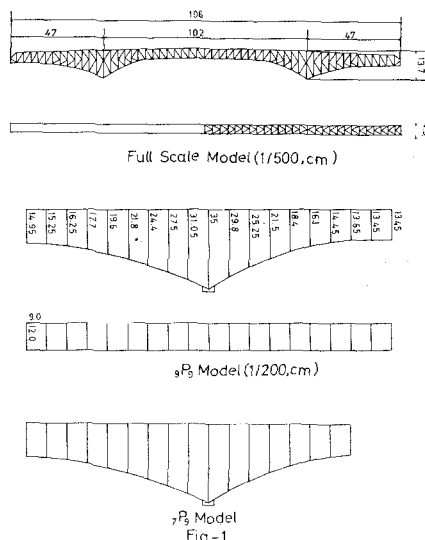
i) 空気力係数；各空気力係数は次式により求まる。  
 $C_F = 2F / \rho V^2 A$  (1)

ここに下は空気力であり、Aは対象面積、 $\rho$ は空気密度、Vは風速を示す。式(1)により算出した各空気力係数と水平迎え角( $\alpha$ )との関係の一例を橋軸に直角方向の抗力係数 $C_D$ 、風方向の抗力係数 $C_F$ 、横力係数 $C_S$ について(Fig.-2), (Fig.-4)に示す。

ii) 対象面積；ダブルトラス橋の空気力は充実率（部材の実面積と外形の面積の比）に大きく影響される。我々は各水平迎え角における充実率を算出し、式(1)において、対象面積として外形の面積及びそれに充実率 $\alpha=0$ を乗じた実面積とを考え、充実率の各空気力に与える影響を調べた。充実率 $\alpha$ と水平迎え角との関係及び、充実率 $\alpha$ と抗力係数の関係の一例を部分模型の場合について、(Fig.-3)に示す。

iii) 対象空気流；実橋はその上弦材が海面上約80mの高さになるため、風速の鉛直分布を考慮しなければならない。ここでは風洞床面上に高さの異なる円錐を千鳥状に配置して得られる境界層A、アルミ平板を風方向に鉛直にしてなることにより得られる境界層B、及び一様流を対象として上述の実験を行なった。各境界層の風速の鉛直係数及び乱れの強さは(Table-1)に示した通りである。

iv) 風速；式(1)において風速Vとして境界層中の風速をとるか、境界層外の風速をとるかによって、空気力係数の値は異なってくる。ここで境界層外の風速を使用して求めた空気力係数 $C_D, C_F$ と、境界層中の風速として、部分模型の場合床面上30cmの所の風速、また



	境界層A	境界層B
風速の鉛直補正係数	1/3	1/7.5
乱れの強さ	15~20%	10%

(Table-1)

全径間模型の場合床面上15cmの所の風速を使用して求めた空気力係数 $C_D$ ,  $C_F$ を(Fig.-2)に示す。

#### 3.4. 実験結果に対する考察

i)部分模型；抗力係数と水平迎え角との関係は(Fig.-2)に示されてあるように、水平迎え角が $20^\circ$ 付近で抗力係数は最大値をとり、その値は対象面積を実面積にとった場合2.0～2.2となる。即ち架設中には水平迎え角が $20^\circ$ 前後の風を受けた場合が最も危険な場合となる。この抗力係数が従来より言られている正方形断面の場合の抗力係数に近い値を示しているのは、この橋梁の部材断面が正方形又は長方形からなっている為と思われる。又流れの場合に比べやや小さめの値に出ていた境界層中の抗力係数は、対象風速を境界層中にとれば5～13%増加する。故に、速度勾配を持つ風についても基準風速をどこにとるかを明記すべきであろう。充実率 $\phi$ と抗力係数の関係は(Fig.-3)に示した通りである。充実率 $\phi$ (実面積 $\alpha$ /外形の面積 $(\alpha=0)$ )の変化特性は抗力(橋軸に直角方向の力)および風方向の空気力の変化特性とよく似てあり、これらの両者の間にはかなりの高い相関があるものと考えられる。対象面積として実面積 $\alpha$ を使用して求めた抗力係数(Fig.-3参照)が $\alpha=0^\circ$ ～ $90^\circ$ において大きくなるのは部材が完全に重なり、実面積が著しく小さくなり、又正方形断面の抗力係数は水平迎え角が $0^\circ$ および $90^\circ$ の時最大値となる為であろう。(Fig.-4)に示されているように横力係数は水平迎え角が $55^\circ$ 付近で最大値をとり、かなりの横力が働いていることがわかる。又横力(橋軸方向の力)と抗力(橋軸に直角方向の力)とで風方向の力を算出した結果は上述の方法で実験的に求めた結果によく一致し、これより横力と抗力より、風方向の空気力が、ベクトル的に求める事ができるものと考えられる。

ii)全径間模型；抗力係数と水平迎え角の関係は、前述の部分模型の場合とその傾向はほぼ似かよっているが、全径間模型の場合抗力係数は $\alpha=0^\circ$ ～ $20^\circ$ の間で一様に2.0～2.2の値となっている。全般的に風洞測定断面の制限を受け1/500という大きな充実率で行なわればならず多少の値のバラツキがみられた。なお紙面の都合上一部のデータレカ掲載することができなかつたが、他の空気力係数及び、その他の結果については当日発表致します。

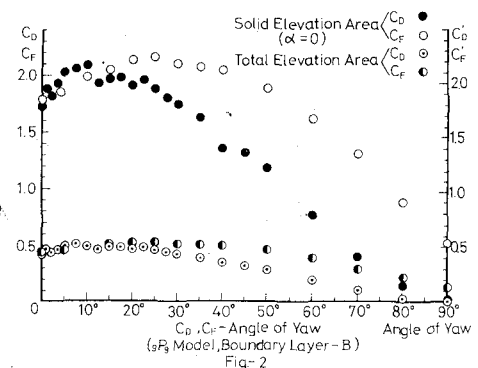


Fig.-2

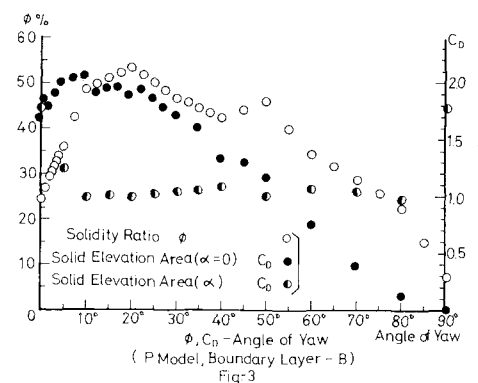


Fig.-3

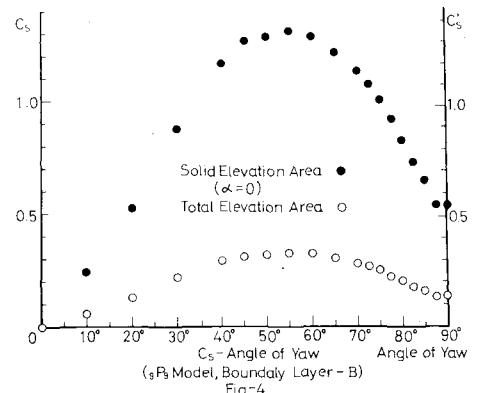


Fig.-4